



# 第十章

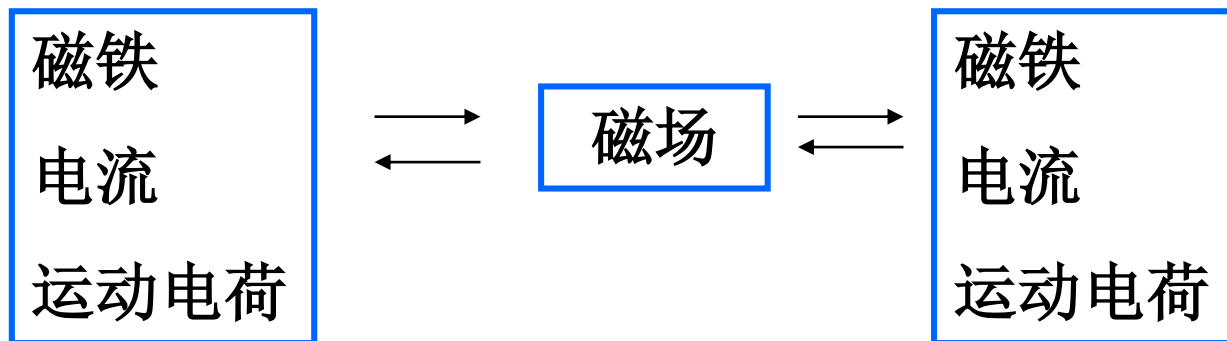
## 电磁感应

- 电磁感应定律
- 动生电动势
- 感生电动势    涡旋电场
- 自感与互感



# 1 电磁感应定律

## 一、电磁感应的预备知识：



磁通量  $\Phi_m$   $\Phi_m = \iint_S \vec{B} \cdot d\vec{S}$

磁通量的变化量  $\Delta\Phi_m$

磁通量的变化率  $\Delta\Phi_m / \Delta t$

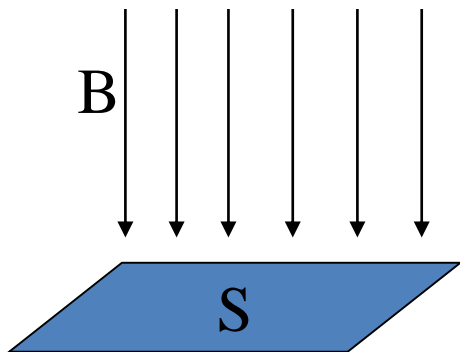
# 使磁通量 $\Phi_m$ 发生改变的方法：

$$\Phi_m = \iint_S \vec{B} \cdot d\vec{S}$$

改变磁感应强度 $\vec{B}$ 的大小；

改变面积的大小；

将平面旋转；





## 二、电磁感应现象

问题的提出

产生

电 流



磁 场

?

电磁感应

1831年法拉第

实验



闭合回路  $\Phi_m$  变化

产生

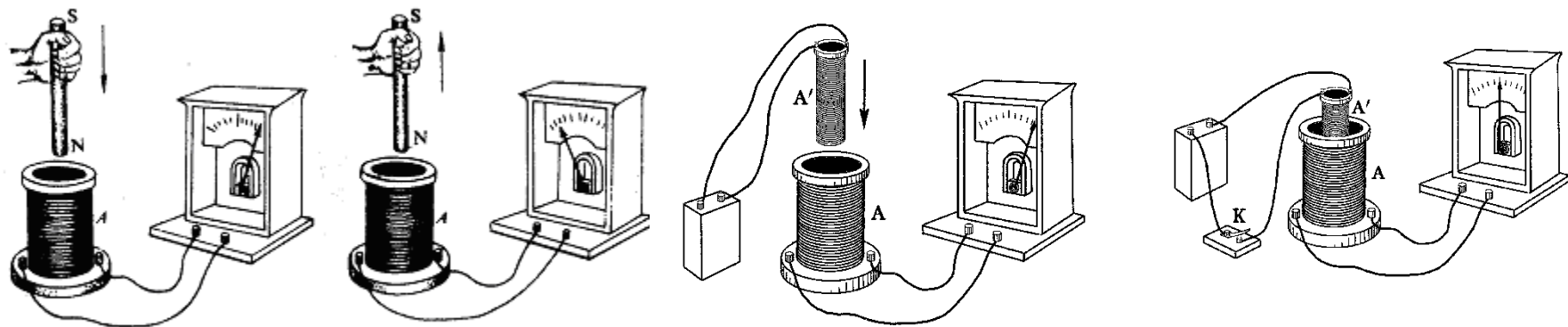


感应电流

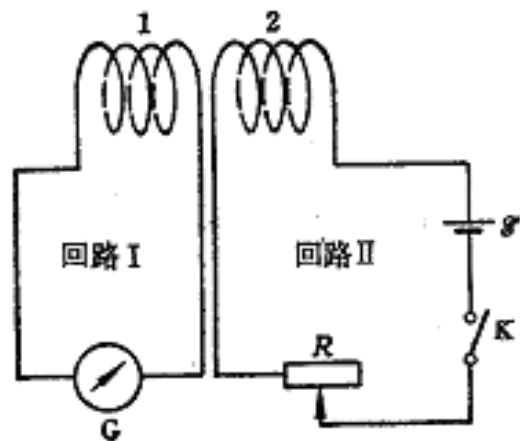
多种探索均告失败：例如安培、科拉顿

1822年阿喇果发现电磁阻尼现象：未能识别 无从解释

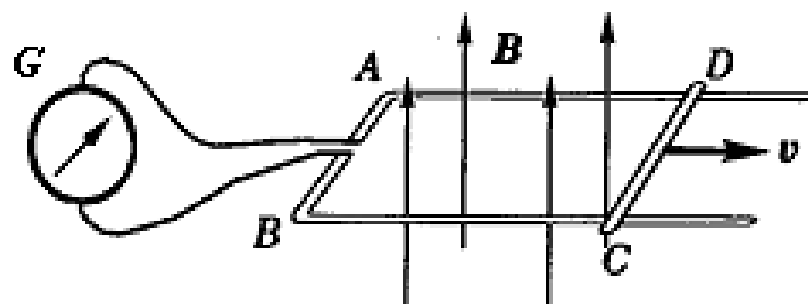
# 电磁感应现象



(a) 插入或拔出磁棒



(b) 接通或断开初级线圈的电流



(c) 导线切割磁感应线的运动



## Faraday观察的结果

- 把可以产生感应电流的情况概括成五类：
  - 变化的着电流；
  - 变化着的磁场；
  - 运动的稳恒电流；
  - 运动的磁铁；
  - 在磁场中运动的导体。



## 结论:

当通过一个闭合导体回路所包围面积内的磁通量发生变化时,回路中就会产生感应电流。这称为 电磁感应现象。





# 电磁感应的实质

## “磁”生“电”的问题

1820年，奥斯特实验：

通电直导线旁的小磁针发生偏转。（“电”生“磁”）

1831年，法拉第提出电磁感应定律。（“磁”生“电”）

电流的磁效应

磁的电效应

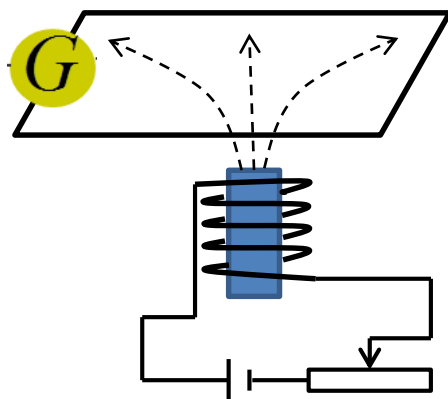
反映了物质世界对称的

美

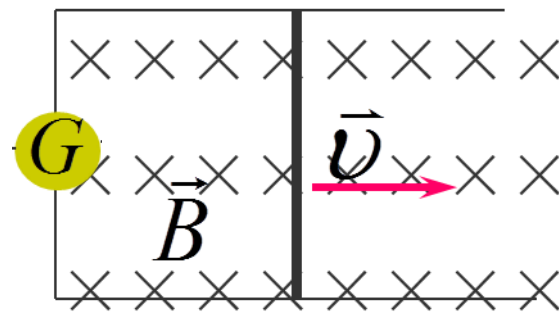
# 电磁感应现象

两种类型：

第一类



第二类



- 两类的共同特点是：以闭合回路为边界的曲面的磁通量随时间发生变化，就会在闭合回路中产生电流——电磁感应现象。产生的电流——感应电流。有电流必然就有电动势——感应电动势。



实验发现，当保持其他条件不变，只改变闭合回路的电阻时发现： $R$ 增大，则 $I$ 减小； $R$ 减小，则 $I$ 增大；但感应电动势不变。

$$IR = \varepsilon$$

因此，与感应电流相比，感应电动势更能充分描述电磁感应的规律。事实上，即使不形成回路，甚至不存在导体，当然也不会有感应电流，在空间也可以产生感应电动势。



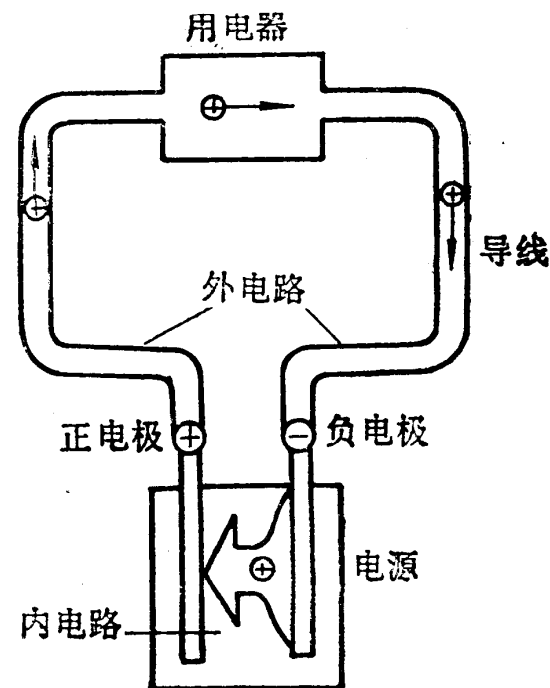
# 三、电动势

## 电流

- 电荷的定向运动形成电流
- 恒定电流：电流强度不随时间变化
- 在闭合电路中，是什么力量驱使电荷运动？
  - 静电力：使正电荷从高电势——低电势
  - 非静电力：提供能量使正电荷从低电势——高电势

# 电源

- 在外电路上维持恒定电压，在电场力作用下
  - 正电荷从电源正极——负极
- 在电源内部在非静电力作用下
  - 正电荷克服静电力  
从电源负极——正极





# 电动势

- 把单位正电荷从负极通过电源内部移到正极时，非静电力所做的功

$$\varepsilon = \int_{-}^{+} \vec{K} \cdot d\vec{l}$$

与外电路是否接通无关。

非静电力的环路积分定义为该闭合回路的电动势：

$$\varepsilon = \oint \vec{K} \cdot d\vec{l}$$



# 法拉第对电磁感应的研究

- 感应电流的出现表明
  - 存在着某种推动电流的非静电力
  - 感应电动势
- 感应电动势比感应电流更能反映电磁感应的本质。即使回路不闭合，也会发生电磁感应现象，这时并没有感应电流，而感应电动势依然存在。

当穿过回路的磁通量发生变化时，回路中就产生感应电动势。



# 法拉第的观点

- 关注动态变化
  - 许多研究磁产生电的人预期产生出静态电场，持续电流；
  - 法拉第认为  
磁体变化—状态变化—感应电动势

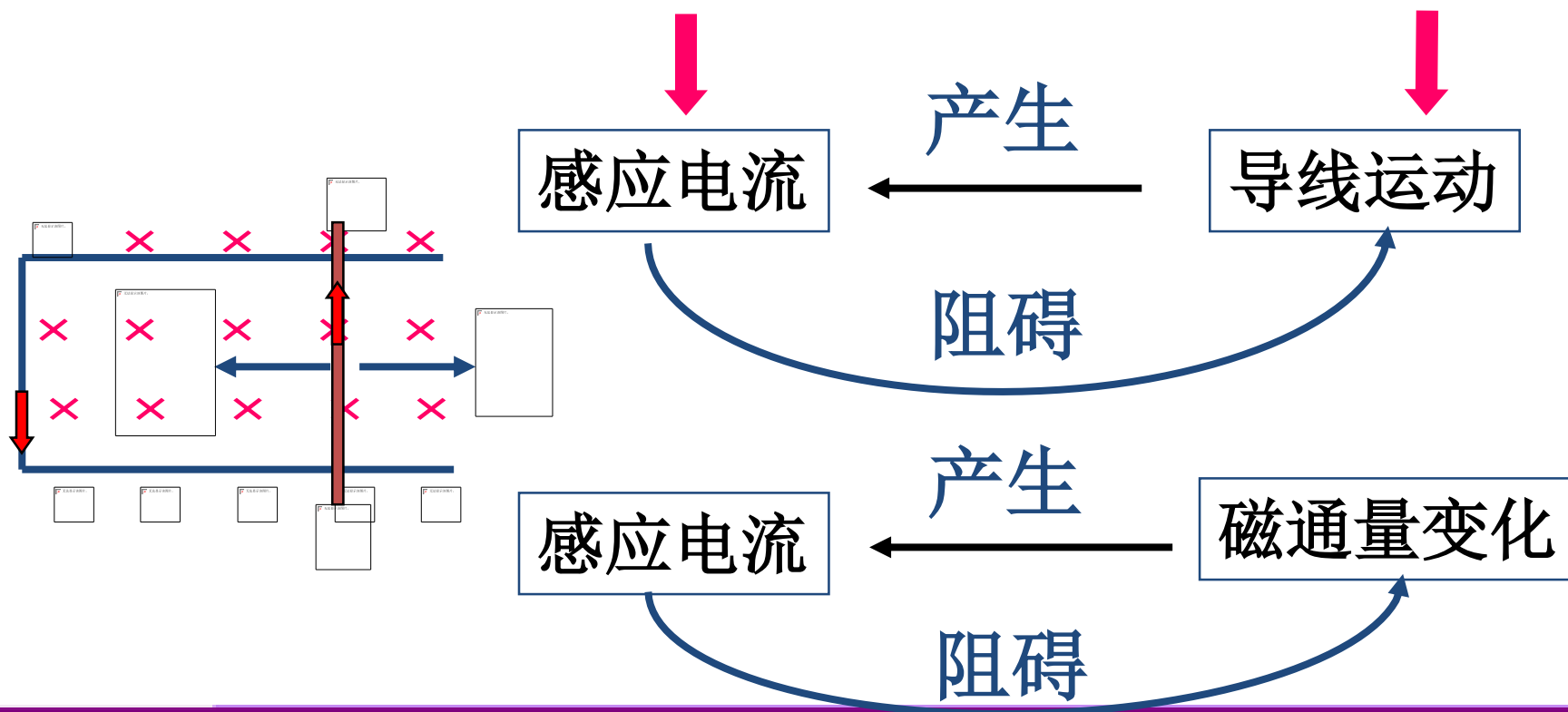




## 四、楞次定律（判断感应电流方向）

回路中**感应电流**的方向，总是使感应电流所激发的磁场来**阻止或补偿**引起感应电流的磁通量的变化。

感应电流的**效果**反抗引起感应电流的**原因**



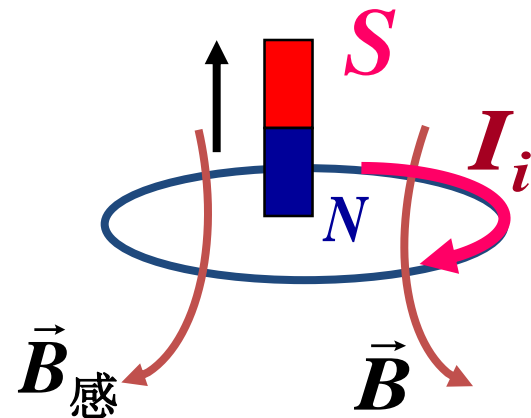
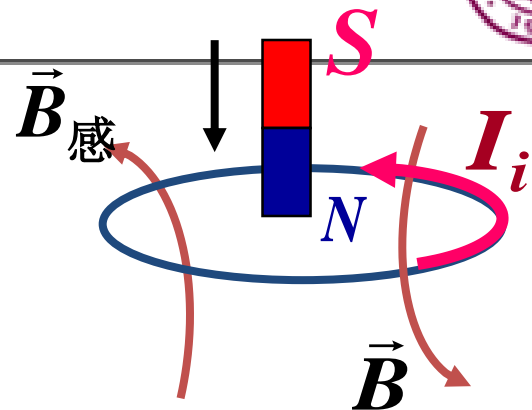


# 判断感应电流的方向：

- 1、判明穿过闭合回路内原磁场的方向；
- 2、根据原磁通量的变化  $\Delta\Phi$  ，按照楞次定律的要求确定感应电流的磁场的方向；
- 3、按右手法则由感应电流磁场的方向来确定感应电流的方向。

$\Phi_m \uparrow$   $\vec{B}_{\text{感}}$  与  $\vec{B}$  反向

$\Phi_m \downarrow$   $\vec{B}_{\text{感}}$  与  $\vec{B}$  同向

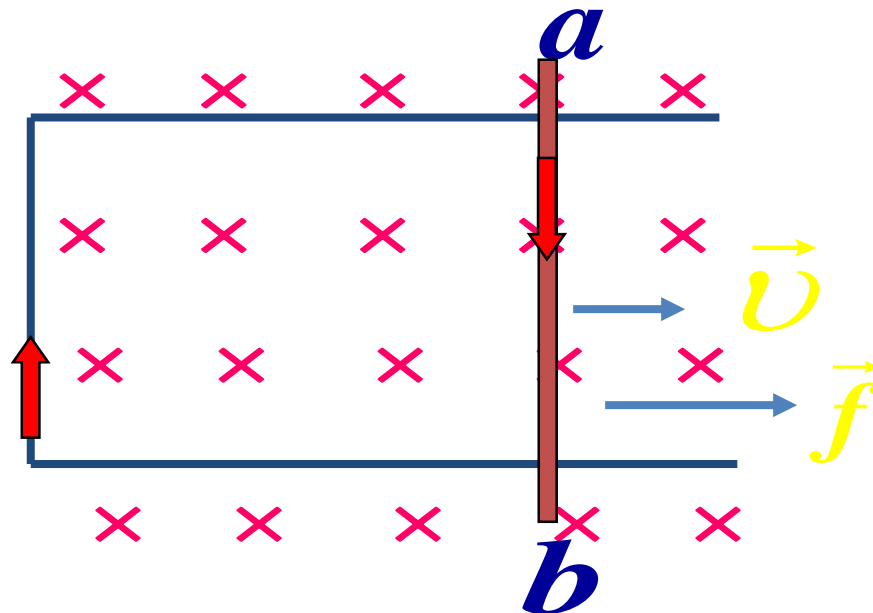


# 楞次定律

~~若违背楞次定律~~



?





## 五、法拉第电磁感应定律

实验表明，通过回路面积内的磁通量发生变化时，回路中产生的感应电动势与磁通量对时间的变化率成正比。

$$\mathcal{E}_i = -k \frac{d\Phi_m}{dt}$$

$$\mathcal{E}_i = - \frac{d\Phi_m}{dt}$$

在SI制中比例系数为1

库仑定律  
毕-萨定律  
电磁感应定律



电磁场理论的三大实验基础



注意

$$\mathcal{E}_i = - \frac{d\Phi_m}{dt}$$

★ 负号表示  $\mathcal{E}_i$  的方向 判断 楞次定律

大小 计算  $\mathcal{E}_i = \left| \frac{d\Phi_m}{dt} \right|$

★ 对  $N$  匝线圈  $\mathcal{E}_i = -N \frac{d\Phi_m}{dt} = - \frac{d(N\Phi_m)}{dt}$

令  $\Psi = N\Phi_m$  全磁通 或磁通匝链数

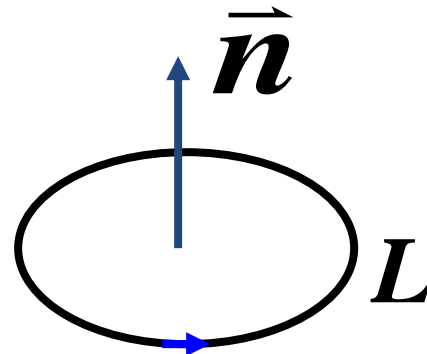
$$\mathcal{E}_i = - \frac{d\Psi}{dt}$$



★我们规定：回路绕行方向 $L$ 和法线方向构成一个右旋符号系统。

★ $d\vec{s}$  (面元) 的方向：

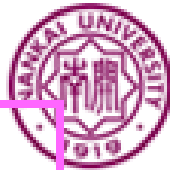
和  $L$  构成右旋作为  $d\vec{s}$  正方向。



★ $\Phi_m$  的符号：

若磁力线与  $d\vec{s}$  间夹角为锐角，则  $\Phi_m$  为正；  
磁力线与  $d\vec{s}$  间夹角为钝角，则  $\Phi_m$  为负。

★ $\mathcal{E}_i$  的符号： $\mathcal{E}_i$  和  $L$  方向绕行一致为 正。



根据这一符号系统可以由楞次定律确定感应电动势  $\mathcal{E}_i$  的方向。

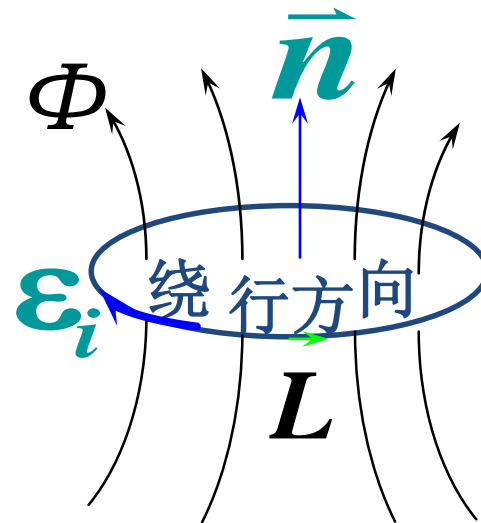
$$\mathcal{E}_i = - \frac{d\Phi_m}{dt}$$

分四种情况讨论：

1、 $\Phi_m > 0, \frac{d\Phi_m}{dt} > 0$

由定律得  $\mathcal{E}_i < 0$

故  $\mathcal{E}_i$  与  $\mathbf{L}$  方向相反

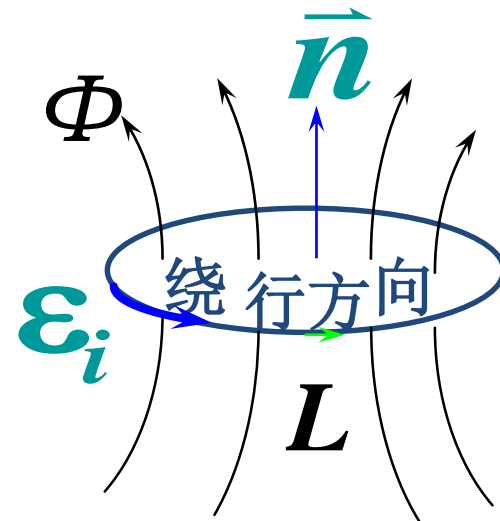


$$\mathcal{E}_i = - \frac{d\Phi_m}{dt}$$

$$2、\Phi_m > 0, \frac{d\Phi_m}{dt} < 0$$

由定律得  $\mathcal{E}_i > 0$

故  $\mathcal{E}_i$  与  $L$  方向相同



$$3、\Phi_m < 0, \frac{d\Phi_m}{dt} > 0$$

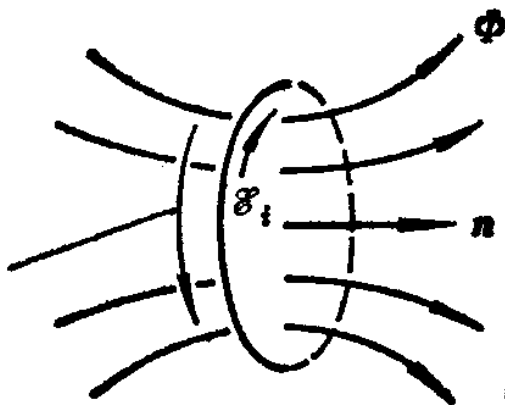
(同学自证)

$$4、\Phi_m < 0, \frac{d\Phi_m}{dt} < 0$$



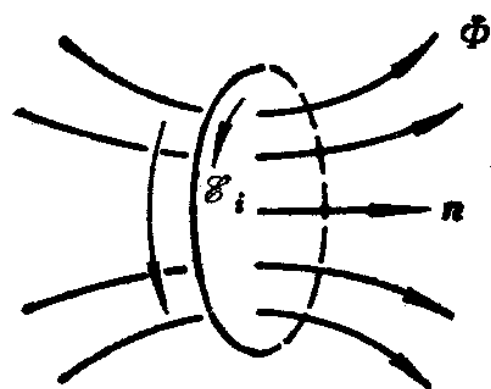
# 感应电动势的方向

回路方向



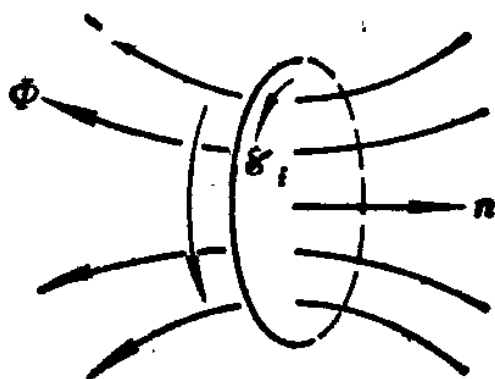
(a)  $\Phi$  为正值,  $|\Phi|$  增加,

$$\frac{d\Phi}{dt} > 0$$



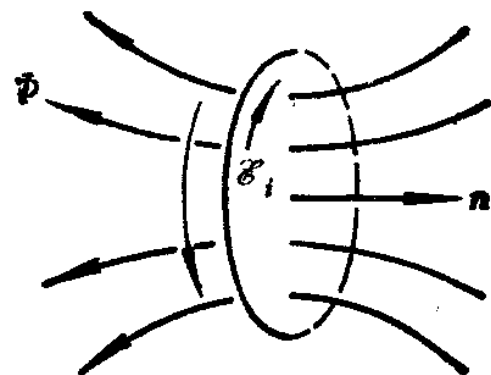
(b)  $\Phi$  为正值,  $|\Phi|$  减少,

$$\frac{d\Phi}{dt} < 0$$



(c)  $\Phi$  为负值,  $|\Phi|$  增加,

$$\frac{d\Phi}{dt} < 0$$



(d)  $\Phi$  为负值,  $|\Phi|$  减少,

$$\frac{d\Phi}{dt} > 0$$



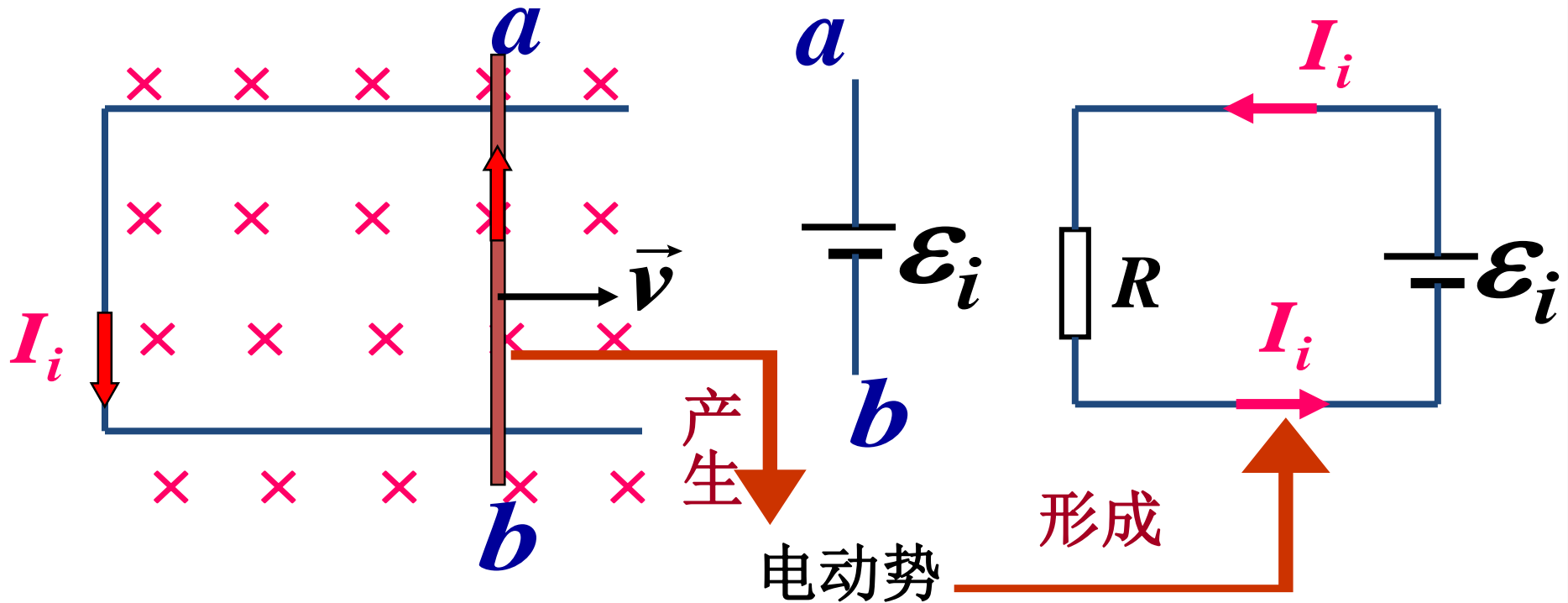
## 利用法拉第定律计算感应电动势：

- (1) 任意规定回路绕行的方向；
- (2) 按右手定则确定回路所围曲面的正法线方向 $\hat{n}$ ；
- (3) 再确定磁通量的正负， $\vec{B}$ 与 $\vec{n}$ 成锐角， $\varphi_B$ 为正， $\vec{B}$ 与 $\vec{n}$ 成钝角， $\varphi_B$ 为负；
- (4) 计算 $\varepsilon = -\frac{d\varphi_B}{dt}$ ；
- (5)  $\varepsilon$ 为正，说明 $\varepsilon$ 的方向与规定的绕行方向相同； $\varepsilon$ 为负，说明 $\varepsilon$ 的方向与规定的绕行方向相反。



## 总结:

- 利用法拉第定律，能计算感应电动势的大小，又能判断其方向，但有时判定方向用楞次定律更为方便。
- **楞次定律**：感应电流（或感应电动势）总是补偿（或反抗）磁通量的变化。
- 注意：
  - （1）补偿指的是对**磁通量变化**的补偿，而不是磁通量的补偿。
  - （2）补偿并不是意味着完全抵消。
- 法拉第定律适合用于定量求解，楞次定律适合定性判断，二者通称为**电磁感应定律**。



感应电流:

$$I_i = \frac{\mathcal{E}_i}{R}$$

$$I_i = \frac{\mathcal{E}_i}{R} = -\frac{1}{R} \frac{d\Phi_m}{dt}$$

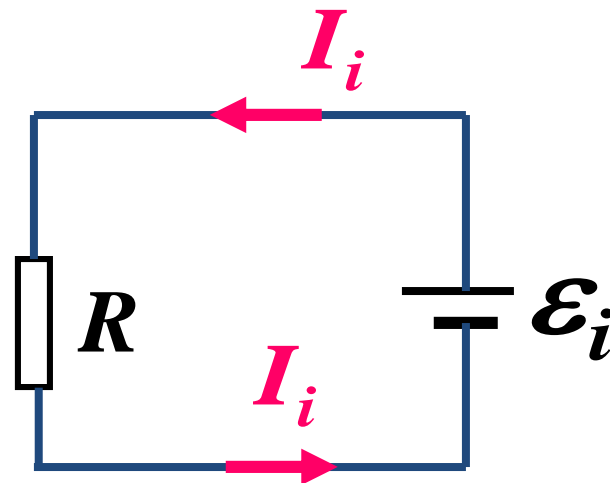
感应电动势

$$\varepsilon_i = - \frac{d\Phi_m}{dt}$$



感应电流

$$I_i = \frac{\varepsilon_i}{R} = - \frac{1}{R} \frac{d\Phi_m}{dt}$$



$$\text{感应电量 } q = \int_{t_1}^{t_2} I_i dt = - \int_{t_1}^{t_2} \frac{1}{R} \frac{d\Phi_m}{dt} dt = - \frac{1}{R} \int_{\Phi_{m_1}}^{\Phi_{m_2}} d\Phi_m$$

$$(dq = I_i dt) \quad = \frac{1}{R} (\Phi_{m_1} - \Phi_{m_2})$$



例1: 无限长直导线  $i = i_0 \sin \omega t$

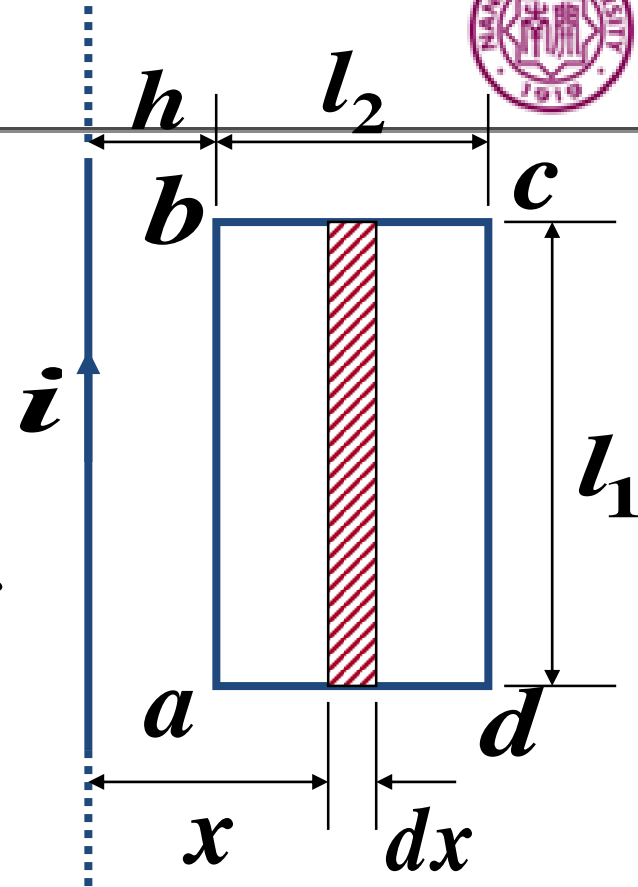
共面矩形线圈  $abcd$

已知:  $l_1$   $l_2$   $h$  求:  $\mathcal{E}_i$

解:  $\Phi_m = \iint \vec{B} \cdot d\vec{S} = \int_h^{h+l_2} \frac{\mu_0 i}{2\pi x} l_1 dx$

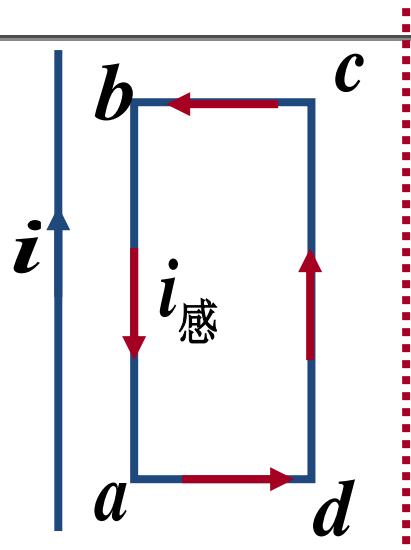
$$= \frac{\mu_0 i_0 l_1}{2\pi} \ln \frac{h+l_2}{h} \sin \omega t$$

$$\mathcal{E}_i = -\frac{d\Phi_m}{dt} = -\frac{\mu_0 i_0 l_1 \omega}{2\pi} \ln \frac{h+l_2}{h} \cos \omega t$$





$$i = i_0 \sin \omega t$$

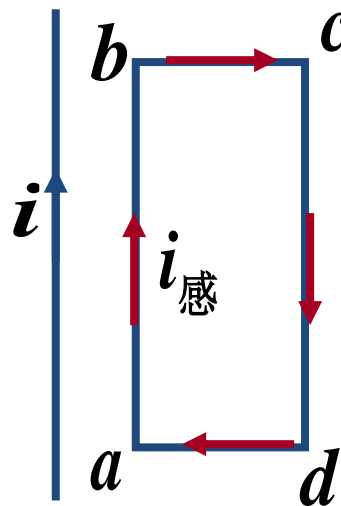


$$0 < \omega t < \frac{\pi}{2}$$

$\Phi_m \uparrow$

$\vec{B}_{\text{感}}$  与  $\vec{B}$  反向

逆

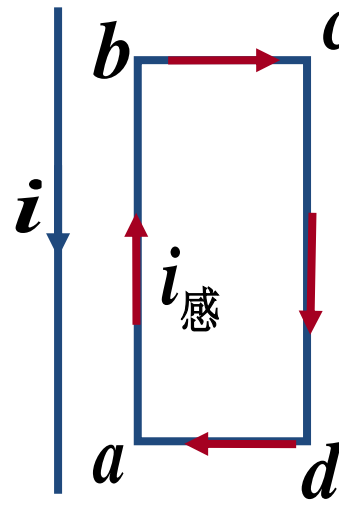


$$\frac{\pi}{2} < \omega t < \pi$$

$\Phi_m \downarrow$

$\vec{B}_{\text{感}}$  与  $\vec{B}$  同向

顺

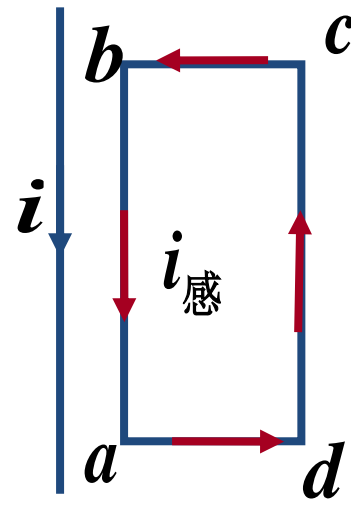


$$\pi < \omega t < \frac{3}{2}\pi$$

$\Phi_m \uparrow$

$\vec{B}_{\text{感}}$  与  $\vec{B}$  反向

顺



$$\frac{3\pi}{2} < \omega t < 2\pi$$

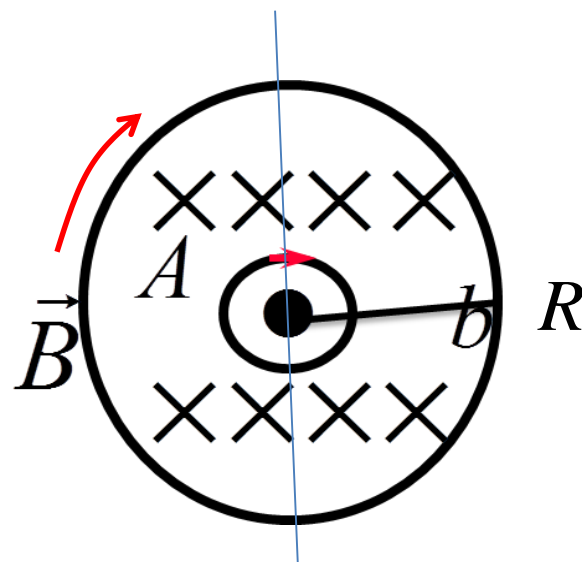
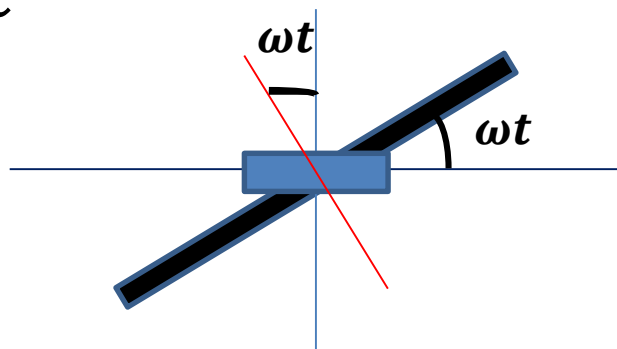
$\Phi_m \downarrow$

$\vec{B}_{\text{感}}$  与  $\vec{B}$  同向

逆

**例2**、半径为 **$b$** ，电阻为 **$R$** 的大线圈与面积为 **$A$** 的极小线圈，开始时同心共面，均匀磁场 **$\vec{B}$** 垂直线圈平面指向内部。大线圈环绕直径、以均角速度 **$\omega$** 、沿逆时针方向旋转。小线圈不动，若不考虑小线圈对大线圈的电磁感应作用，试求 **$t$** 时刻，小线圈上的电动势。

**解：**规定两线圈的环绕方向都是顺时针方向。起始时刻，大线圈的正法线方向与 **$\vec{B}$** 的夹角为 **$0$** ，在 **$t$** 时刻，夹角为： **$\theta = \omega t$**







$t$ 时刻大线圈所围平面的磁通量为:

$$\varphi_B = B\pi b^2 \cos \omega t$$

大线圈上的感应电动势为:

$$\varepsilon = -\frac{d\varphi_B}{dt} = B\pi b^2 \omega \sin \omega t$$

在大线圈上的感应电流为:

$$I = \frac{\varepsilon}{R} = \frac{1}{R} B\pi b^2 \omega \sin \omega t$$

电流 $I$ 在圆心处产生的磁感应强度为:

$$B' = \frac{\mu_0 I}{2b} \quad \left( B = \frac{\mu_0 I}{2} \cdot \frac{R^2}{(R^2 + z^2)^{\frac{3}{2}}} \right)$$



因A极小，可认为小线圈内 $B'$ 是均匀的，因而小线圈内的磁通量为： $\varphi' = B' A \cos \omega t + BA$

因此小线圈上的感应电动势为：

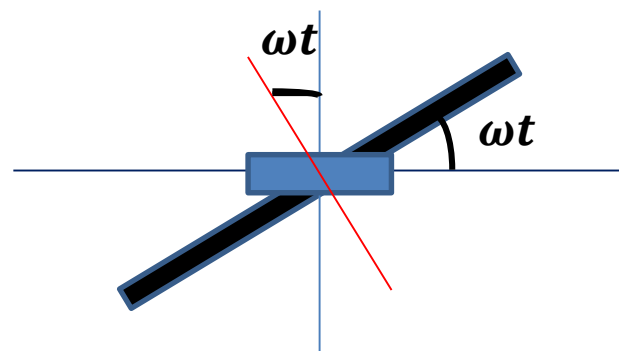
$$\begin{aligned}\varepsilon' &= -\frac{d\varphi'}{dt} = -\frac{d}{dt} \left[ \left( \frac{\mu_0}{2b} \cdot \frac{B\pi b^2 \omega}{R} \sin \omega t \right) A \cos \omega t \right] \\ &= -\frac{\mu_0}{2R} B\pi b \omega^2 A \cos 2\omega t\end{aligned}$$

讨论：

(1)  $\frac{\pi}{2} + 2n\pi > 2\omega t > 2n\pi$  及

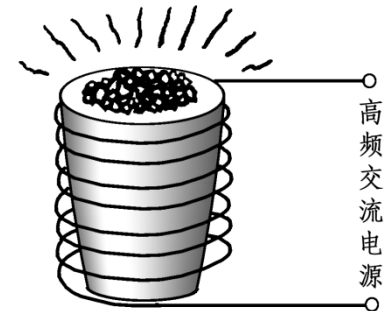
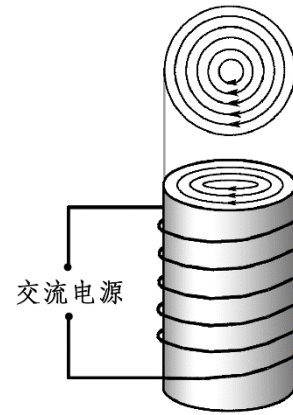
$2(n+1)\pi > 2\omega t > \frac{3\pi}{2} + 2n\pi$  时， $\varepsilon'$  逆时针；

(2)  $\frac{3\pi}{2} + 2n\pi > 2\omega t > \frac{\pi}{2} + 2n\pi$ ， $\varepsilon'$  顺时针。



# 涡电流和电磁阻尼

- 大块金属处于变化磁场中或在磁场中运动时，其中产生的感应电流呈涡旋状——涡电流
- 大块金属电阻小，涡电流大，释放大量热量



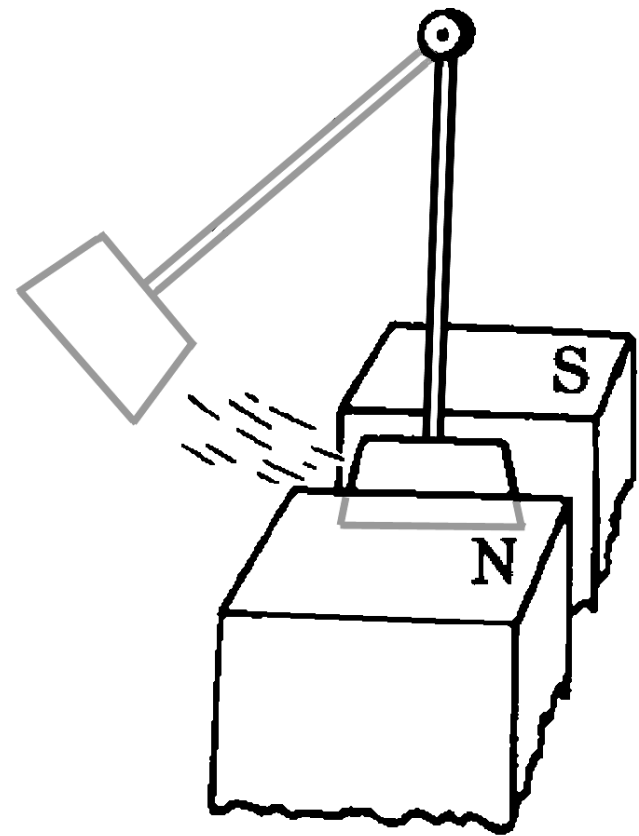
高频感应加热

电磁炉

# 涡电流和电磁阻尼

- 电磁阻尼

涡电流在磁场中所受到安培力  
——电磁阻尼



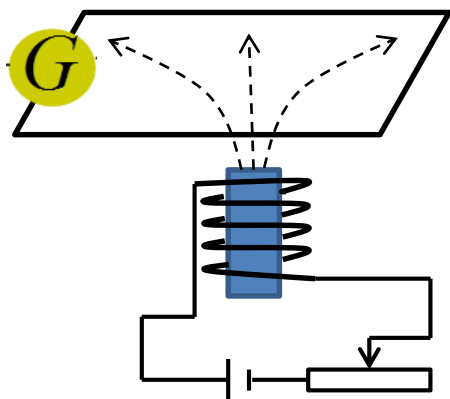


- 根据法拉第定律知，只要以闭合回路为边界的曲面的磁通量随时间发生变化，那么该闭合回路就会产生感应电动势。
- 存在的问题：
  - (1) 感应电动势对应的非静电力是什么力？
  - (2) 如果没有闭合环路，是否有感应电动势？
  - (3) 如果没有导体，是否有感应电动势？
- 回答这些问题需要对电磁感应现象进行分类，并分析产生感应电动势的内在原因。

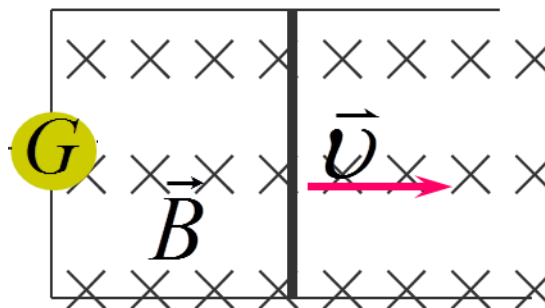
# 感应电动势分类:

- 1 动生电动势: 磁场保持不变, 导体回路或导体在磁场中运动
- 2 感生电动势: 导体回路或导体不动, 磁场变化

第一类



第二类





# 两类实验现象

导线或线圈在磁场中运动

线圈内磁场变化

# 感应电动势

动生电动势

产生原因、规律不相同

感生电动势

都遵从电磁感应定律

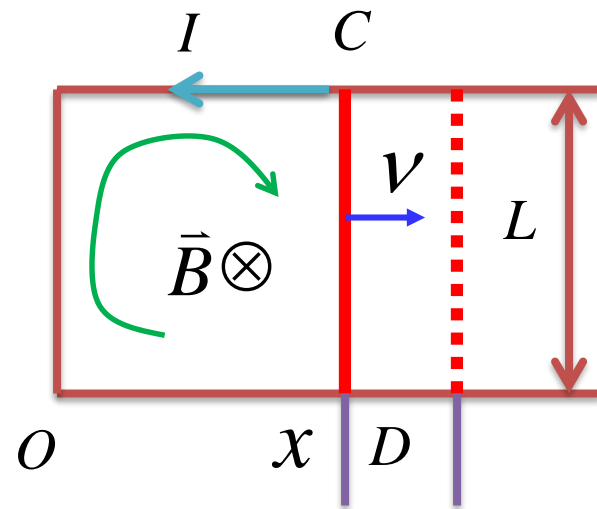
## 2 动生电动势

- 导体在磁场中运动产生的电动势——动生电动势。  
利用Faraday定律：选定，顺时针为回路绕行方向。  
假定 $t = 0$ 时， $x = 0$ ， $t$ 时刻：

$$\phi = \iint \vec{B} \cdot d\vec{S} = B \iint dS = BLx$$

$$\varepsilon = -\frac{d\phi}{dt} = -BL\frac{dx}{dt} = -BLv$$

$\because \varepsilon < 0, \therefore \varepsilon$ 方向为逆时针。

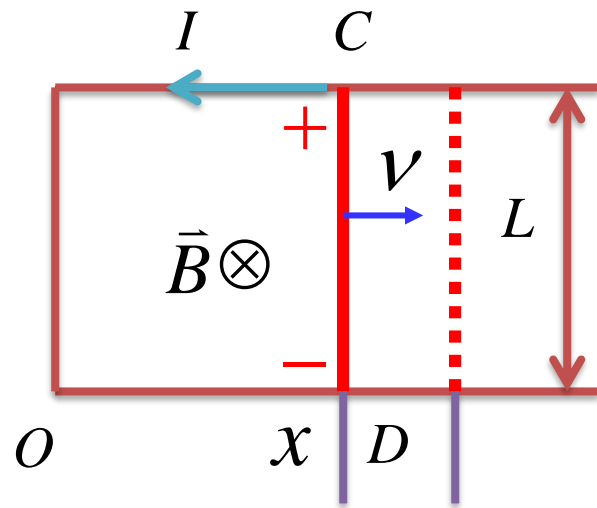


- 这样的动生电动势是如何产生的呢？
- 动生电动势对应的非静电力是什么力？
- 这里的非静电力实际上就是洛伦兹力！



- CD中自由电子随CD运动，故会受到洛伦兹力。电子由C → D运动，这样C、D两端出现静电场，阻碍这种运动。当达到平衡时，静电力与洛伦兹力大小相同。

$$\vec{F} = -e(\vec{v} \times \vec{B})$$



- C、D端存在稳定的电势差，即CD成为电源，C正极，D负极。
- 这就是说，金属棒C、D内存在的非静电力——洛伦兹力。



- 非静电场强:

$$\vec{K} = \frac{\vec{F}}{-e} = \frac{-e(\vec{v} \times \vec{B})}{-e} = \vec{v} \times \vec{B}$$

- 根据电源电动势定义:

$$\varepsilon = \int_{-}^{+} \vec{K} \cdot d\vec{l} = \int_D^C (\vec{v} \times \vec{B}) \cdot d\vec{l} = \int_D^C Bv dl = BLv$$

- 其结论与法拉第定律的结论相同, 假设成立, 即非静电力是洛伦兹力。
- 由以上分析可知: **动生电动势只分布在运动的导体上, 与回路中不运动的部分无关。**



- 实际上，即使不存在回路，只要有运动的导体，电动势就可能存在，而且大小不变，相当于一个开路电源。
- 以上结论虽然从特例中获得，但是适合普遍规律，普遍地讲，任一运动导体线元：

$$d\varepsilon = (\vec{v} \times \vec{B}) \cdot d\vec{l}$$

$\vec{v}$ 是导体线元 $d\vec{l}$ 相对于磁场 $\vec{B}$ 的速度。

$\vec{v}$ 、 $\vec{B}$ 可以是不均匀的， $L$ 可以是任意形状。

任一运动导体 $L$ 不是直线，磁场也不均匀

导线上各长度元  $d\vec{l}$  上的速度  $\vec{v}$  各不相同，

$$d\varepsilon_i = (\vec{v} \times \vec{B}) \cdot d\vec{l}$$

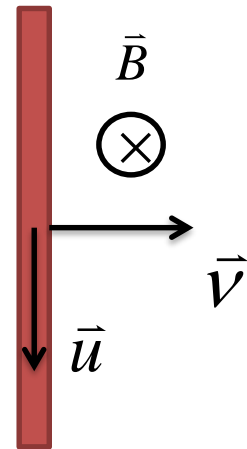
$$\varepsilon = \int_L (\vec{v} \times \vec{B}) \cdot d\vec{l} \quad (\text{正负与} d\vec{l} \text{ 有关})$$



- **问题：洛伦兹力是否做功：**

- 对于电源，非静电力作功，将其他形式的能量转换为静电能。对于动生电动势的电源来说，非静电力是洛伦兹力。而我们上一章介绍过，洛伦兹力永远不做功，这是不是说明前后矛盾呢？

- 当导体以速度 $\vec{v}$ 运动时，自由电子速度包含两个分量： $\vec{v}$ （随同导体）、定向移动速度： $\vec{u}$



$$\therefore \text{洛伦兹力: } \vec{F} = -e(\vec{v} + \vec{u}) \times \vec{B} = \vec{F}_1 + \vec{F}_2$$

$$\vec{F}_1 = -e\vec{v} \times \vec{B}, \quad \vec{F}_2 = -e\vec{u} \times \vec{B}$$

可以证明，两个分量对电子做功代数和为零。

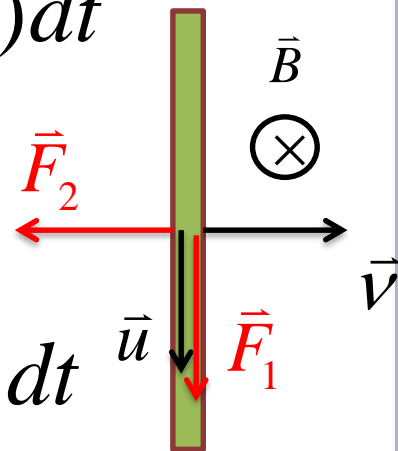


- 分量 $\vec{F}_1$ 在 $dt$ 时间内所做的功:

$$\begin{aligned} A_1 &= \vec{F}_1 \cdot (\vec{v} + \vec{u})dt = -e(\vec{v} \times \vec{B}) \cdot (\vec{v} + \vec{u})dt \\ &= -e(\vec{v} \times \vec{B}) \cdot \vec{u}dt \end{aligned}$$

- 分量 $\vec{F}_2$ 在 $dt$ 时间内所做的功:

$$\begin{aligned} A_2 &= \vec{F}_2 \cdot (\vec{v} + \vec{u})dt = -e(\vec{u} \times \vec{B}) \cdot (\vec{v} + \vec{u})dt \\ &= -e(\vec{u} \times \vec{B}) \cdot \vec{v}dt \end{aligned}$$

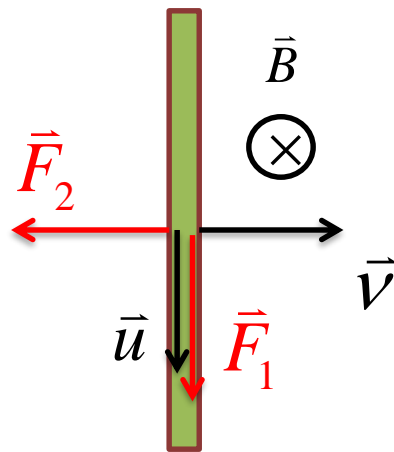


$\therefore$  由矢量运算公式:  $(\vec{v} \times \vec{B}) \cdot \vec{u} = -(\vec{u} \times \vec{B}) \cdot \vec{v}$

$\therefore A_1 = -A_2$ , 即  $A_1 + A_2 = 0$

也就是说, 洛伦兹力做的总功为零。

- 它的一个分量 $\vec{F}_1$ 对自由电子做正功，产生动生电动势。另一分量 $\vec{F}_2$ 与导体运动的方向相反，构成导体运动的阻力，做负功。



- 也就是说，对于这样的电源，磁场本身不提供能量，只是起能量传递的作用。

外界的能量  $\xrightarrow{\text{磁场 (洛伦兹力)}}$  静电能



## 动生电动势的计算

- ◆  $\varepsilon_i = -\frac{d\psi}{dt}$  适用于一切产生电动势的闭合回路
- ◆  $\varepsilon_i = \int_{(ba)} (\vec{v} \times \vec{B}) \cdot d\vec{l}$  适用于切割磁力线的导体

步骤:

- 1) 将运动导线分割成无数 $dl$ , 任定 $dl$ 方向
- 2) 任选 $dl$ , 确定其 $\vec{v} \times \vec{B}$ 及 $\vec{v} \times \vec{B} \cdot d\vec{l}$
- 3) 积分。 $\varepsilon_i > 0$ , 与 $dl$ 方向相同。



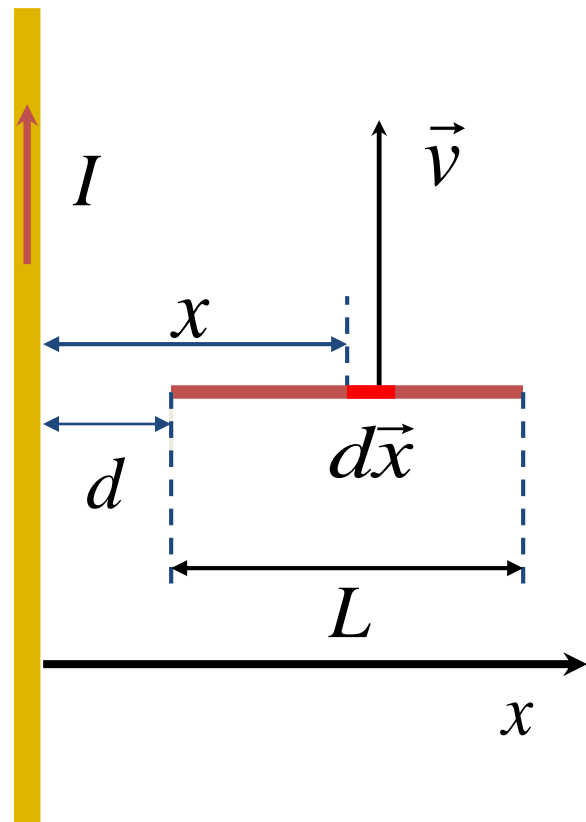
**例1** 如图金属杆以速度 $\vec{v}$  平行于长直载流导线运动。  
已知导线中的电流强度为 $I$ 。  
求：金属杆中的动生电动势。

**解：**  $d\varepsilon_i = (\vec{v} \times \vec{B}) \cdot d\vec{x} = -vBdx$

$$B = \frac{\mu_0 I}{2\pi x}$$

$$\begin{aligned} \varepsilon_i &= \int_L d\varepsilon_i = -\int_L Bvdx \\ &= -\frac{\mu_0 Iv}{2\pi} \int_d^{d+L} \frac{dx}{x} \end{aligned}$$

$$\varepsilon_i = -\frac{\mu_0 Iv}{2\pi} \ln \frac{d+L}{d}$$





**例2** 有一半圆形金属导线在匀强磁场中作切割磁力线运动。已知： $\vec{v}$ ,  $\vec{B}$ ,  $R$ .

求：动生电动势。

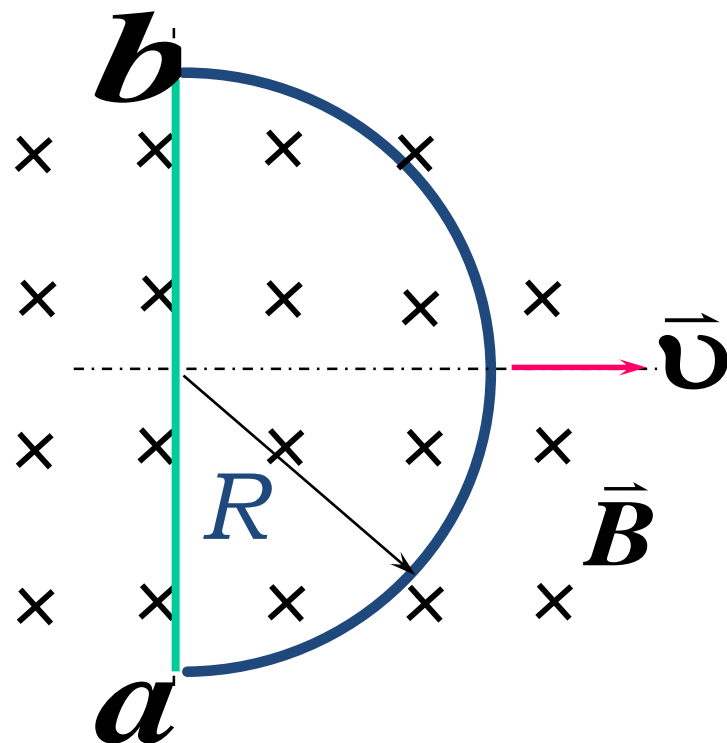
解： 方法一

作辅助线，形成闭合回路。

$$\mathcal{E}_i = 0$$

$$\begin{aligned}\mathcal{E}_{\text{半圆}} &= \mathcal{E}_{\overline{ab}} \\ &= 2RBv\end{aligned}$$

方向：  $a \rightarrow b$



例2 有一半圆形金属导线在匀强磁场中作切割磁力线运动。已知： $\vec{v}$ ,  $\vec{B}$ ,  $R$ .



求：动生电动势。

解： 方法二

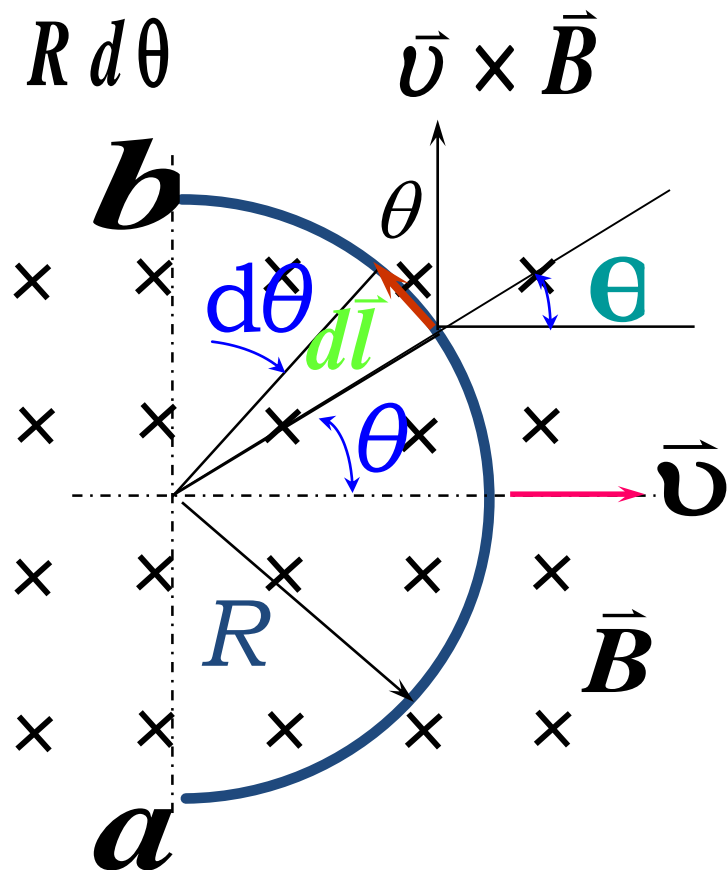
$$dl = R d\theta$$

$$\begin{aligned} d\varepsilon &= (\vec{v} \times \vec{B}) \cdot d\vec{l} \\ &= v B \sin 90^\circ dl \cos \theta \end{aligned}$$

$$\varepsilon = v B R \int_{-\pi/2}^{\pi/2} \cos \theta d\theta$$

$$= v B 2 R$$

方向：  $a \rightarrow b$



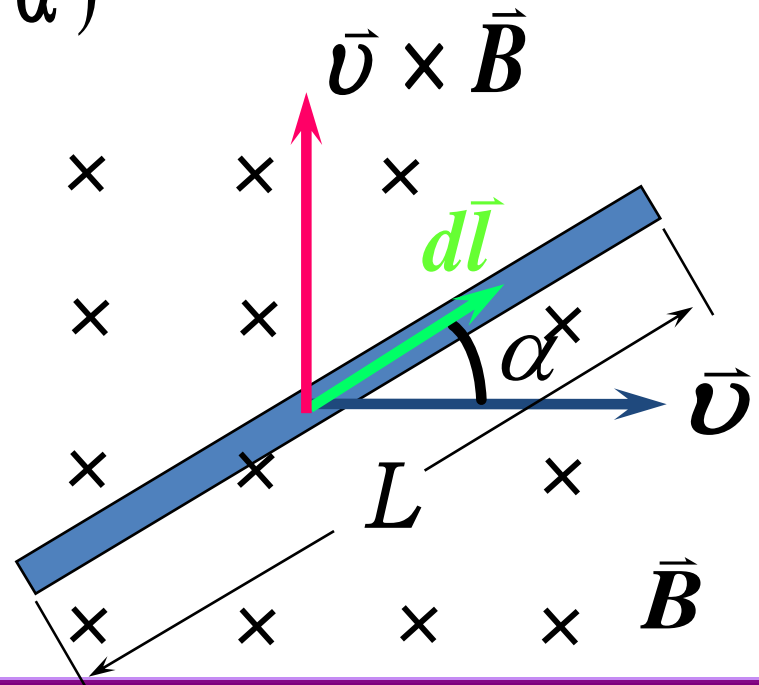


例3 已知:  $\vec{v}, \vec{B}, \alpha, L$  求:  $\mathcal{E}$

解:

$$\begin{aligned} d\mathcal{E} &= (\vec{v} \times \vec{B}) \cdot d\vec{l} \\ &= v B \sin 90^\circ dl \cos(90^\circ - \alpha) \\ &= B v \sin \alpha dl \end{aligned}$$

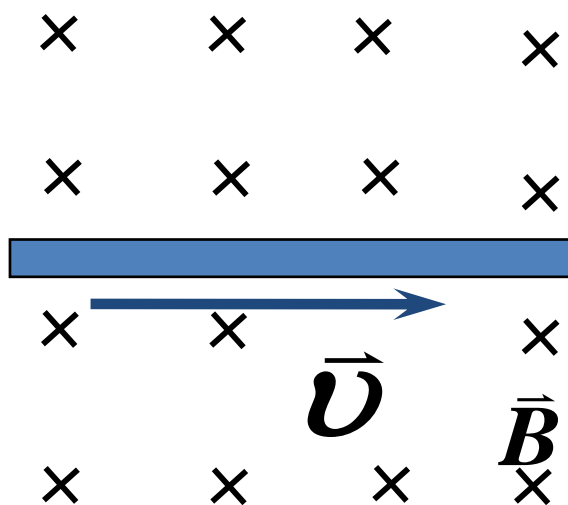
$$\begin{aligned} \mathcal{E} &= \int B v \sin \alpha dl \\ &= B L v \sin \alpha \end{aligned}$$



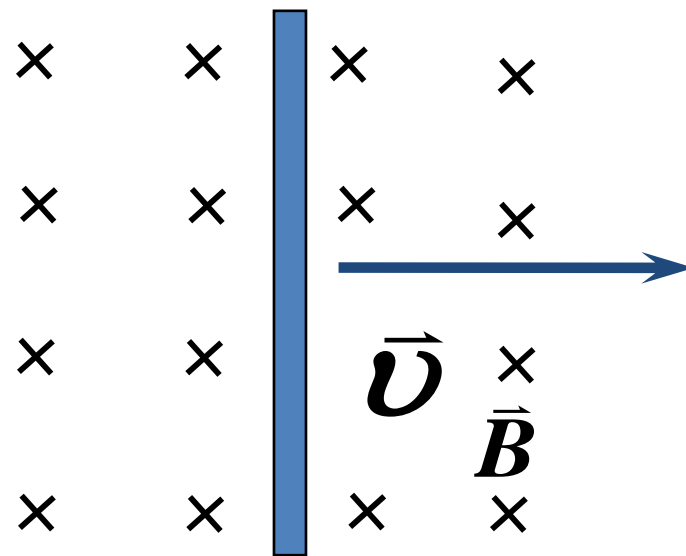
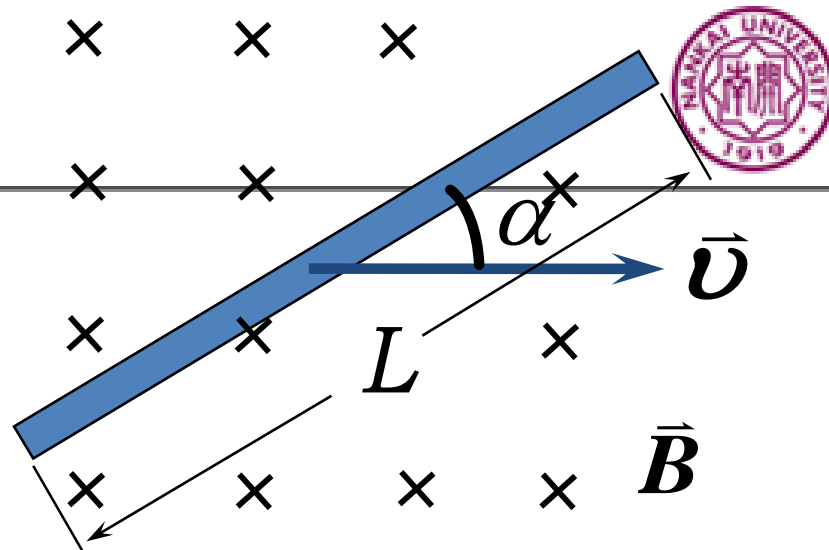
## 典型结论

$$\varepsilon = BLv \sin \alpha$$

### 特例



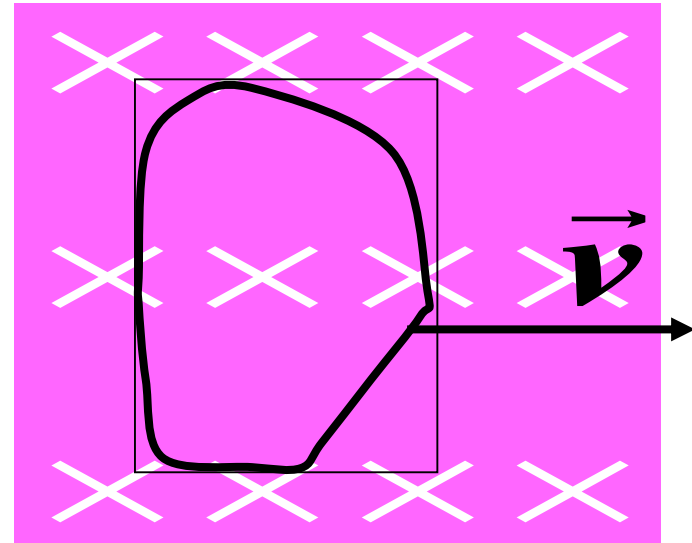
$$\varepsilon = 0$$



$$\varepsilon = BLv$$

## 闭合线圈平动

$$\begin{aligned}\mathcal{E}_i &= -\frac{d\Phi_m}{dt} \\ &= 0\end{aligned}$$



## 直导线平动

$$\mathcal{E}_i = BLv \sin \alpha$$

## 闭合线圈平动

$$\mathcal{E}_i = 0$$



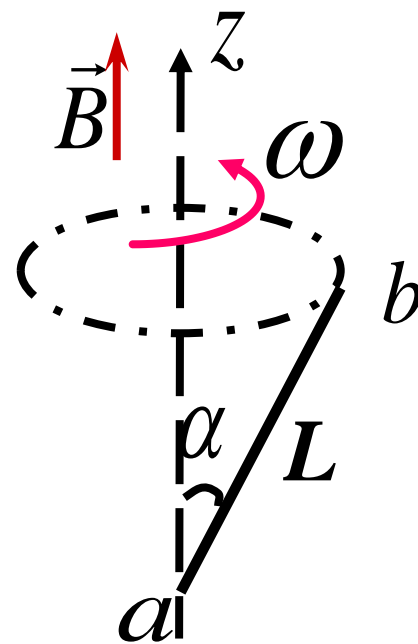
例4 在空间均匀的磁场中  $\vec{B} = B\hat{z}$

导线 $ab$ 绕 $Z$ 轴以 $\omega$ 匀速旋转,

导线 $ab$ 与 $Z$ 轴夹角为 $\alpha$

设  $\overline{ab} = L$

求: 导线 $ab$  中的电动势





解：建坐标如图      在坐标 $l$ 处取 $d\vec{l}$

该导线运动速度垂直纸面向内，

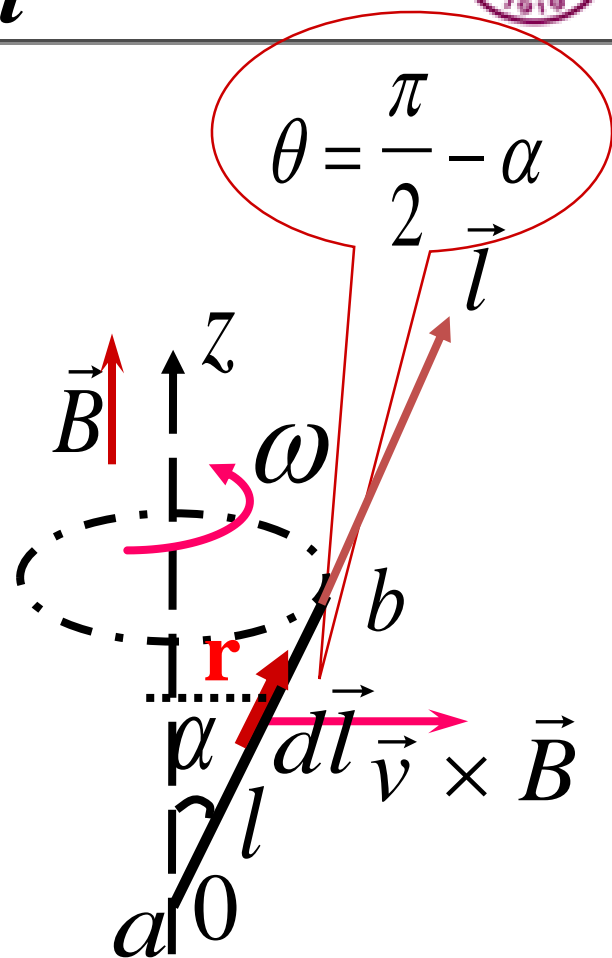
运动半径为  $r$

$$|\vec{v} \times \vec{B}| = vB = \omega rB = \omega lB \sin \alpha$$

$$d\varepsilon_i = (\vec{v} \times \vec{B}) \cdot d\vec{l} = vBdl \cos \theta$$
$$= B\omega \sin^2 \alpha l dl$$

$$\varepsilon_i = \int d\varepsilon_i = B\omega \sin^2 \alpha \int_0^L l dl$$
$$= \frac{B\omega L^2}{2} \sin^2 \alpha > 0$$

方向：  $a \rightarrow b$





### 3 感生电动势 涡旋电场

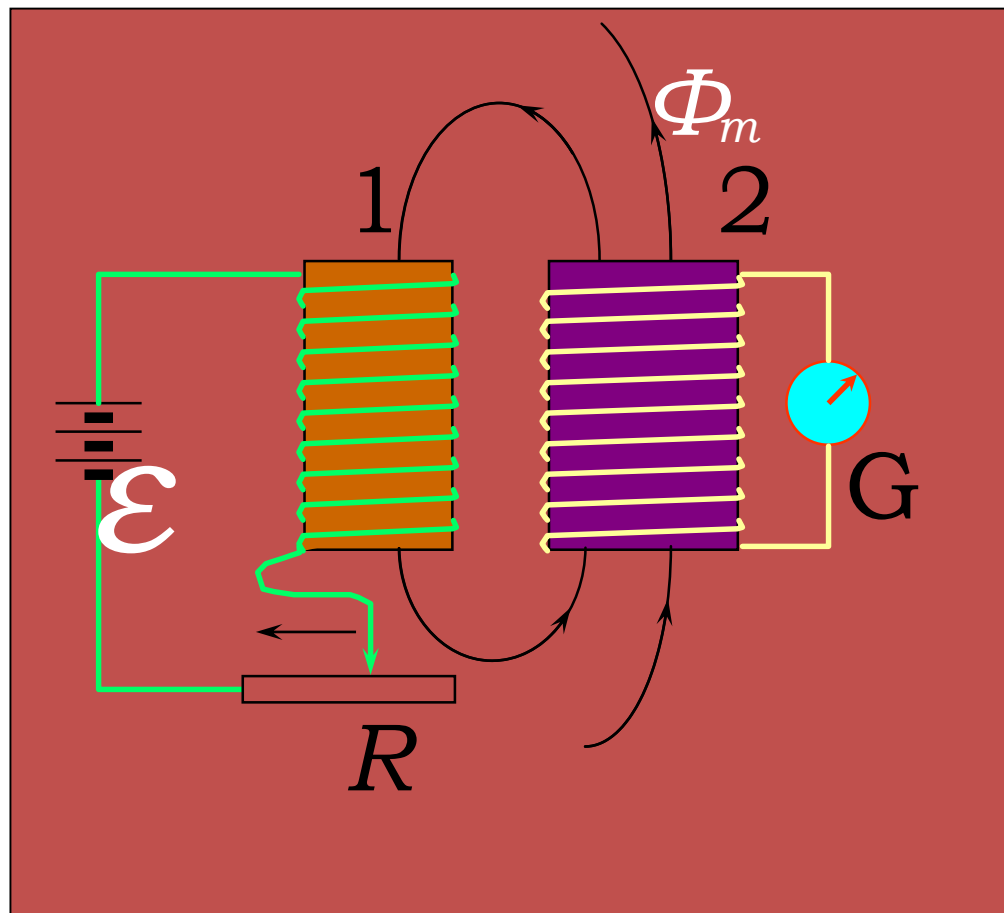
#### 一 感生电动势 -----由变化的磁场本身引起。

当回路 1 中电流发生变化时，在回路 2 中出现感应电动势。

感生电场（涡旋电场）

\*麦克斯韦的假设：

变化磁场在其周围激发一种电场，这种电场就称为感生电场。





- 磁场随时间变化产生的电动势叫做感生电动势或涡旋电动势。
- 根据麦克斯韦理论，变化的磁场要产生涡旋电场——是一种非静电场。其线积分就是感应电动势，这种电动势的存在，不依赖于导体的存在。

$$\varepsilon_i = \oint_{-}^{+} \vec{K} \cdot d\vec{l} = \oint \vec{E}_{\text{旋}} \cdot d\vec{l}$$

- 这种电动势称为涡旋电动势，也叫感生电动势。



由法拉第电磁感应定律:

$$\varepsilon_i = -\frac{d\Phi_m}{dt} = -\frac{d}{dt} \iint_S \vec{B} \cdot d\vec{S} = -\iint_S \frac{\partial \vec{B}}{\partial t} \cdot d\vec{S}$$

由电动势的定义:  $\varepsilon_i = \oint_L \vec{E}_k \cdot d\vec{l} = \oint_L \vec{E}_{\text{旋}} \cdot d\vec{l}$

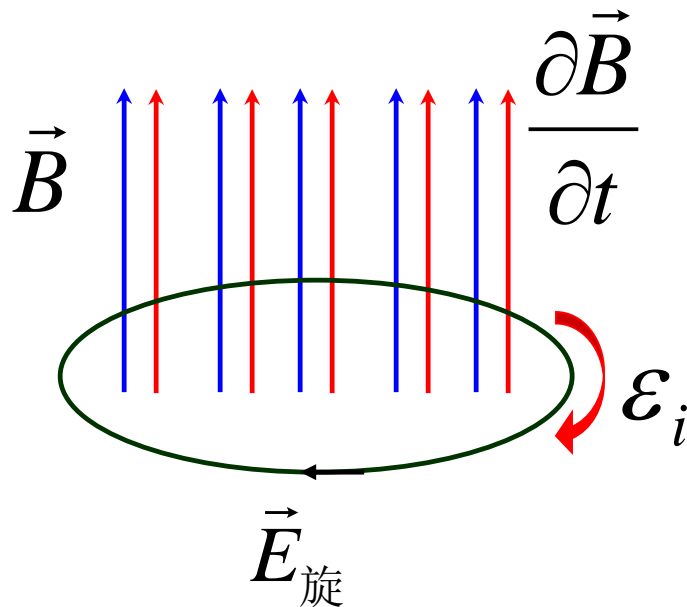
$$\varepsilon_i = \oint_L \vec{E}_{\text{旋}} \cdot d\vec{l} = -\iint_S \frac{\partial \vec{B}}{\partial t} \cdot d\vec{S}$$

讨论:

1. 此式反映变化磁场和感生电场的相互关系, 即感生电场是由变化的磁场产生的。
2. 这是电磁场基本方程之一。

$$\varepsilon_i = \oint_L \vec{E}_{\text{旋}} \cdot d\vec{l} = - \iint_S \frac{\partial \vec{B}}{\partial t} \cdot d\vec{S}$$

$\vec{E}_{\text{旋}}$  与  $\frac{\partial \vec{B}}{\partial t}$  的关系:  $\frac{\partial \vec{B}}{\partial t}$  与  $\vec{E}_{\text{旋}}$  成左手螺旋关系





- 两种电场：静电场、涡旋电场；
- 任意电场都可以看作是静电场与涡旋电场的叠加，即：

$$\vec{E} = \vec{E}_{\text{静}} + \vec{E}_{\text{涡旋}}$$

$$\because \oint_L \vec{E}_{\text{静}} \cdot d\vec{l} = 0, \quad \oint_L \vec{E}_{\text{涡旋}} \cdot d\vec{l} = \varepsilon_i$$

$$\text{由法拉第定律知：} \varepsilon = -\frac{d\phi}{dt} = -\frac{d}{dt} \iint_S \vec{B} \cdot d\vec{S}$$

如果闭合回路为边界的曲面不变，则：

$$\oint_L \vec{E} \cdot d\vec{l} = -\iint_S \frac{\partial \vec{B}}{\partial t} \cdot d\vec{S}$$

——Maxwell方程组之一。



- 上一式表明，在磁感矢量随时间变化的空间，处处存在电动势，与导体存在与否无关。
- 到现在为止，我们对各种电源的电动势有了更为充分的理解：

电池：化学作用，化学能  $\rightarrow$  电能；

温差电效应：热扩散作用，热能  $\rightarrow$  电能；

动生电动势：洛伦兹力，机械能  $\rightarrow$  电能；

涡旋电动势：涡旋电场力，磁能  $\rightarrow$  电能。

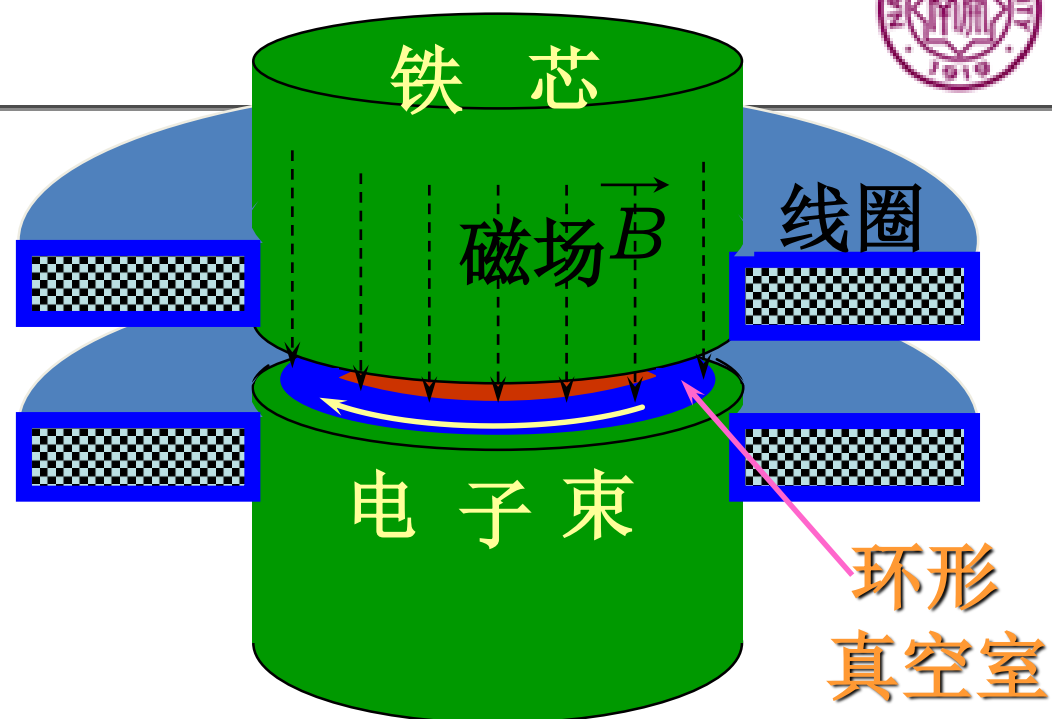
可见：各种形式的能量都可以转化为电能。



## 感生电场与静电场的比较

- 涡旋电场是非静电场;
- 涡旋（感生）电场的电力线是闭合曲线;
- 闭合曲面的电通量恒等于零;
- 涡旋电场沿闭合回路的线积分不等于零，实际上等于闭合回路的感应电动势，即涡旋（感生）电动势;
- 之所以称其为电场，是因为具有电场的基本性质：对处于其中的电荷具有力的作用。

# 电子感应加速器



其主要结构是在磁极间放置环形真空室。当交变励磁电流变化时，磁场发生变化，在其周围产生涡旋电场，此涡旋电场可用来加速电子，环形室中的电子除了受到电场的加速之外，还受到磁场的洛伦兹力而作圆周运动。

一个100 MeV的电子感应加速器，能使电子速度加速到 $0.999986c$



## 应用举例

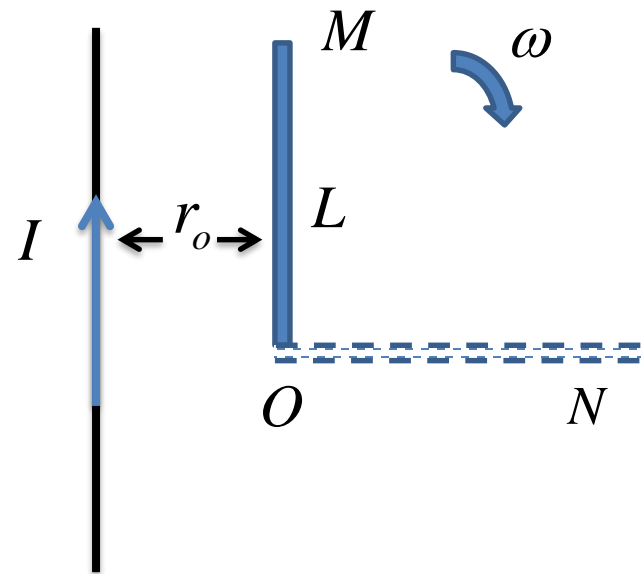
例1、长为 $L$ 的金属棒，绕 $O$ 点，以均角速度 $\omega$ 沿顺时针方向旋转。在同一平面内，有一载有稳恒电流 $I$ 的无限长直导线，试分别求棒旋转到 $OM$ 和 $ON$ 位置时，金属棒两端的感应电动势。

解：可用动生电动势特有方法：

$$\varepsilon = \int_L (\vec{v} \times \vec{B}) \cdot d\vec{l}$$

载流直导线产生的磁感矢量

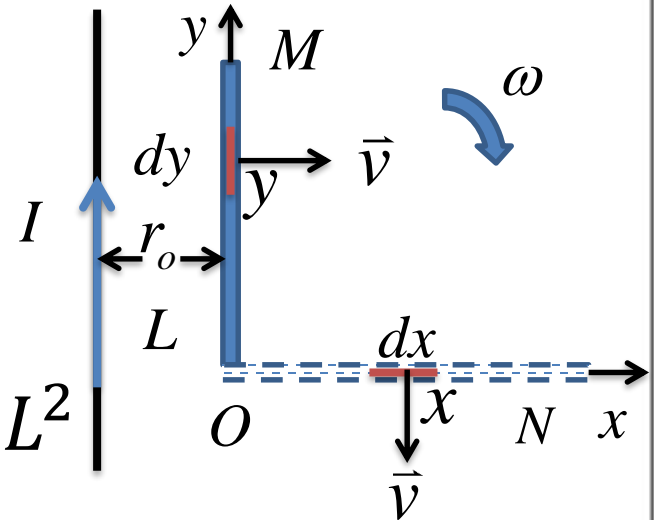
量 $\vec{B}$ 的数值为： $B = \frac{\mu_0 I}{2\pi r}$



OM位置:

$$\varepsilon = \int_0^M (\vec{v} \times \vec{B}) \cdot d\vec{l}$$

$$= \int_0^L \omega y B dy = \frac{\omega B}{2} L^2 = \frac{\mu_0 I}{4\pi r_0} \omega L^2$$



ON位置:

$$\varepsilon = \int_0^N (\vec{v} \times \vec{B}') \cdot d\vec{l} = \int_0^L \omega x \frac{\mu_0 I}{2\pi(r_0 + x)} dx$$

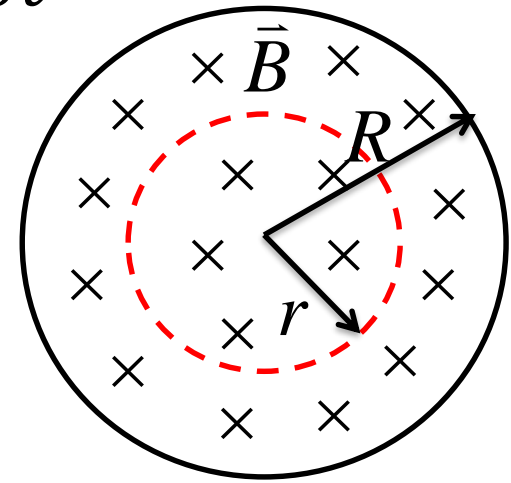
$$= \frac{\mu_0 \omega I}{2\pi} \int_0^L \frac{x}{r_0 + x} dx = \frac{\mu_0 \omega I}{2\pi} \left[ L - r_0 \ln\left(1 + \frac{L}{r_0}\right) \right]$$

方向: \$O \rightarrow M\$、\$O \rightarrow N\$

例2、如图，长直螺线管半径为 $R$ ，管内均匀磁感矢量 $\mathbf{B}$ 垂直纸面向里，已知 $\frac{\partial B}{\partial t}$ 是常数，求管内外的涡旋电场分布。

解： $r$ 为闭合回路半径，由于螺线管的对称性，可知涡旋电场也是对称的，其电力线为

同心的圆周，在同一圆周上 $\vec{E}_{\text{涡旋}}$ 的大小相等方向沿切线方向。



思路：由法拉第定律求 $\varepsilon$ ，

由 $\varepsilon = \oint_L \vec{E}_{\text{涡旋}} \cdot d\vec{l}$ ，则可求出 $\vec{E}_{\text{涡旋}}$

选定绕行方向：顺时针

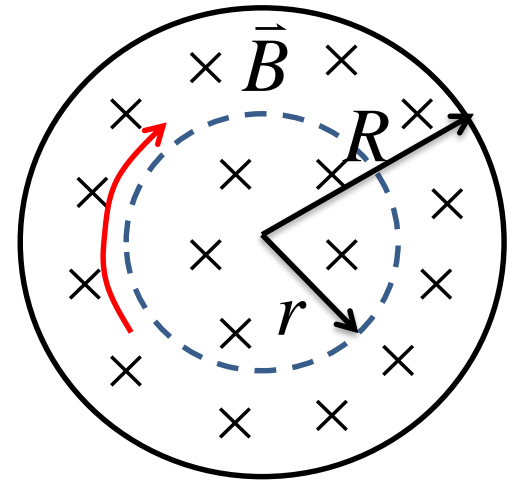
磁通量： $\phi = \pi r^2 B \quad (r < R)$

$\phi = \pi R^2 B \quad (r > R)$

电动势：

$$\varepsilon = -\frac{d\phi}{dt} = -\pi r^2 \frac{dB}{dt} \quad (r < R)$$

$$\varepsilon = -\frac{d\phi}{dt} = -\pi R^2 \frac{dB}{dt} \quad (r > R)$$



$$\varepsilon = \oint \vec{E}_{\text{涡旋}} \cdot d\vec{l} = 2\pi r E_{\text{涡旋}}$$

涡旋电场：

$$E_{\text{涡旋}} = \frac{\varepsilon}{2\pi r} = -\frac{r}{2} \frac{\partial B}{\partial t} \quad (r < R)$$

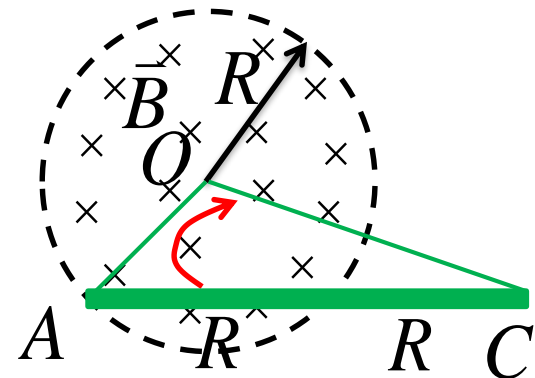
$$E_{\text{涡旋}} = \frac{\varepsilon}{2\pi r} = -\frac{R^2}{2r} \frac{\partial B}{\partial t} \quad (r > R)$$

方向：  $\frac{\partial B}{\partial t} > 0$ ，逆时针；  $\frac{\partial B}{\partial t} < 0$ ，顺时针。



例3、均匀磁感矢量 $\mathbf{B}$ 被限定在半径为 $R$ 的圆柱形空间中，且随时间变化，变化率为 $\frac{\partial B}{\partial t} = K$ ， $K$ 为正常数， $\mathbf{B}$ 的方向垂直纸面向里。在纸面内有一长为 $2R$ 的金属棒，有一半在磁场区域内，另一半在磁场区域外，求：棒AC间的涡旋电动势的大小和方向。

解：构建如图所示的闭合环路；  
利用Faraday定律求环路电动势；  
选定绕行方向：顺时针；



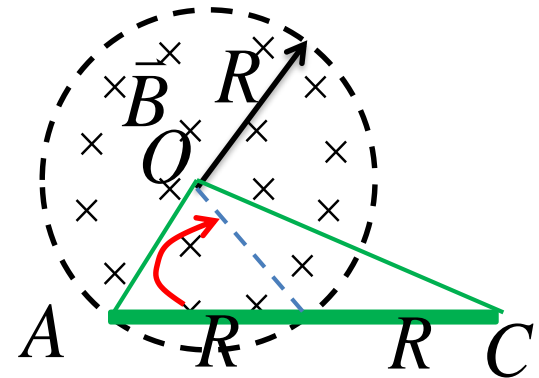
磁通量为等腰三角形与30度的扇形的磁通量，等腰三角形面积：

$\frac{\sqrt{3}}{4}R^2$ ，扇形面积： $\frac{\pi}{12}R^2$

环路电动势：

$$\varepsilon = -\frac{d}{dt} \left[ \left( \frac{\sqrt{3}}{4} + \frac{\pi}{12} \right) R^2 B \right] = - \left( \frac{\sqrt{3}}{4} + \frac{\pi}{12} \right) R^2 \frac{\partial B}{\partial t} = - \left( \frac{\sqrt{3}}{4} + \frac{\pi}{12} \right) R^2 K$$

因涡旋电场方向与OA和OC垂直，所以OA和OC上电动势为0；因此，环路OAC的电动势即为AC上的电动势。方向：**A→C**



- 作业:

电动势部分P484-485:

- T10.10 T10.11 T10.13 T10.14 T10.15

电感部分P486-487:

- T10.20 T10.23



---

The end!